Dinámicas de particulas para inferencia en distribuciones multimodales

Arturo Jaramillo Gil

Centro de Investigación en Matemáticas (CIMAT) Trabajo conjunto con Isaías Banales y Joshué Ricalde-Guerrero

Objetivo principal

Consideramos una densidad en \mathbb{R}^d dada por

$$\pi(dx) = Z^{-1}\rho(x)dx.$$

Objetivo principal

Consideramos una densidad en \mathbb{R}^d dada por

$$\pi(dx) = Z^{-1}\rho(x)dx.$$

Sólo podemos acceder parcialmente a π , via $\nabla \log \rho(x)$.

1

Objetivo principal

Consideramos una densidad en \mathbb{R}^d dada por

$$\pi(dx) = Z^{-1}\rho(x)dx.$$

Sólo podemos acceder parcialmente a π , via $\nabla \log \rho(x)$.

 $\begin{tabular}{ll} Objetivo \\ Aproximar π numéricamente. \end{tabular}$

Adicional al problema de dimensionalidad, se presentan los obstáculos

- Multimodalidad

Adicional al problema de dimensionalidad, se presentan los obstáculos

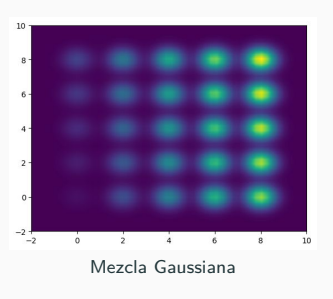
- Multimodalidad
- Valles de baja densidad

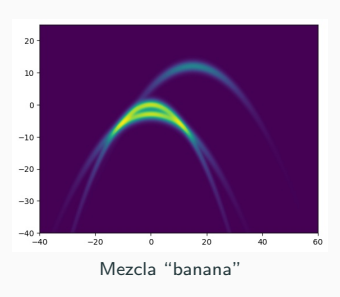
Adicional al problema de dimensionalidad, se presentan los obstáculos

- Multimodalidad
- Valles de baja densidad

Adicional al problema de dimensionalidad, se presentan los obstáculos

- Multimodalidad
- Valles de baja densidad





Preludio: optimización sobre medidas

En optimización Euclideana movemos puntos $x_t \in \mathbb{R}^d$.

Preludio: optimización sobre medidas

En optimización Euclideana movemos puntos $x_t \in \mathbb{R}^d$. En optimización de Wasserstein movemos distribuciones $\mu_t \in \mathbb{P}_2(\mathbb{R}^d)$ con densidad f_{μ_t} .

Preludio: optimización sobre medidas

En optimización Euclideana movemos puntos $x_t \in \mathbb{R}^d$. En optimización de Wasserstein movemos distribuciones $\mu_t \in \mathbb{P}_2(\mathbb{R}^d)$ con densidad f_{μ_t} .

Concepto	Sobre \mathbb{R}^d	Sobre $\mathcal{P}(\mathbb{R}^d)$
Funcional	$g(x)$, con $x \in \mathbb{R}^d$	$F(\mu)$, con $\mu \in \mathcal{P}(\mathbb{R}^d)$
Dinámica	$\dot{x}_t = -\nabla g(x_t)$	$\partial_t f_{\mu_t} = \nabla \cdot (f_{\mu_t} \nabla \frac{\delta F}{\delta \mu_t})$
Gradiente	∇g	$\nabla \frac{\delta F}{\delta \mu}$
Métrica	$\sum_{i=1}^{d} v_x^i ^2$	$\int_{\mathbb{R}^d} v_{\mu}(x) ^2 \mu(dx)$
Dinámica	Flujo gradiente	Flujo gradiente de Wasserstein

3

Una elección natural de función minimizante es la divergencia de Kullback-Leibler:

$$F(\mu) = KL(\mu \| \pi) = \int_{\mathbb{R}^d} \log \left(\frac{f_{\mu}(x)}{f_{\pi}(x)} \right) f_{\mu}(x) dx.$$

Una elección natural de función minimizante es la divergencia de Kullback-Leibler:

$$F(\mu) = KL(\mu \| \pi) = \int_{\mathbb{R}^d} \log \left(\frac{f_{\mu}(x)}{f_{\pi}(x)} \right) f_{\mu}(x) dx.$$

Observaciones

- Minimizar $F(\mu)$ equivale a hacer que μ aproxime π .

4

Una elección natural de función minimizante es la divergencia de Kullback-Leibler:

$$F(\mu) = KL(\mu \| \pi) = \int_{\mathbb{R}^d} \log \left(\frac{f_{\mu}(x)}{f_{\pi}(x)} \right) f_{\mu}(x) dx.$$

Observaciones

- Minimizar $F(\mu)$ equivale a hacer que μ aproxime π .
- El flujo gradiente de Wasserstein asociado a F está gobernado por

$$\partial_t f_{\mu_t} = \Delta f_{\mu_t} + \nabla \cdot (f_{\mu_t} \nabla V),$$

donde $V(x) = -\log f_{\pi}(x)$.

Una elección natural de función minimizante es la divergencia de Kullback-Leibler:

$$F(\mu) = KL(\mu \| \pi) = \int_{\mathbb{R}^d} \log \left(\frac{f_{\mu}(x)}{f_{\pi}(x)} \right) f_{\mu}(x) dx.$$

Observaciones

- Minimizar $F(\mu)$ equivale a hacer que μ aproxime π .
- El flujo gradiente de Wasserstein asociado a F está gobernado por

$$\partial_t f_{\mu_t} = \Delta f_{\mu_t} + \nabla \cdot (f_{\mu_t} \nabla V),$$

donde $V(x) = -\log f_{\pi}(x)$.

- El esquema se basa en que $f_{\mu_t} o f_\pi$.

4

La idea principal es cambiar el flujo de Wasserstein

$$\partial_t f_{\mu_t} = \Delta f_{\mu_t} + \nabla \cdot (f_{\mu_t} \nabla V),$$

con $V(x) = -\log f_{\pi}(x)$, por...

La idea principal es cambiar el flujo de Wasserstein

$$\partial_t f_{\mu_t} = \Delta f_{\mu_t} + \nabla \cdot (f_{\mu_t} \nabla V),$$

con $V(x) = -\log f_{\pi}(x)$, por...

$$\partial_t f_{\mu_t} = \Delta f_{\mu_t} + \nabla \cdot (f_{\mu_t} \frac{\mathbf{K}_{\mu_t}}{\nabla V}),$$

con

$$K_{\nu}[\nabla V](x) := \int_{\mathbb{R}^d} K(x, y) \nabla V(y) \mu(dy),$$

donde K es un kernel positivo definido

Una dinámica para μ_t equivale a las dinámicas para $\langle \mu_t, \varphi \rangle$, con φ una función de prueba.

Una dinámica para μ_t equivale a las dinámicas para $\langle \mu_t, \varphi \rangle$, con φ una función de prueba.

Versión débil del flujo kernelizado:

$$\partial_t \langle \mu_t, \varphi \rangle = -\langle \mu_t, K_{\mu_t} [\nabla \log f_{\mu_t} - \nabla \log f_{\pi}] \cdot \nabla \varphi \rangle.$$

6

Una dinámica para μ_t equivale a las dinámicas para $\langle \mu_t, \varphi \rangle$, con φ una función de prueba.

Versión débil del flujo kernelizado:

$$\partial_t \langle \mu_t, \varphi \rangle = - \langle \mu_t, K_{\mu_t} \big[\nabla \log f_{\mu_t} - \nabla \log f_{\pi} \big] \cdot \nabla \varphi \rangle.$$

Si suponemos

$$\mu_t = rac{1}{\ell} \sum_{j=1}^{\ell} \delta_{\mathsf{x}_j(t)},$$

el sistema se "resuelve" si

$$\partial_t x_k(t) = K_{\mu_t}[\nabla \log(f_{\pi})](x_k) + \frac{1}{\ell} \sum_{j=1}^{\ell} \nabla K(x_k, x_j),$$

6

(i) Inicializar partículas $x_1, \ldots, x_\ell \sim \mu_0$.

- (i) Inicializar partículas $x_1, \ldots, x_\ell \sim \mu_0$.
- (ii) Para cada paso, hacemos

$$\dot{x}_i = \frac{1}{\ell} \sum_{j=1}^{\ell} \left[k(x_j, x_i) \nabla \log \rho(x_j) + \nabla_{x_j} k(x_j, x_i) \right], \qquad i = 1, \dots, \ell.$$

- (i) Inicializar partículas $x_1, \ldots, x_\ell \sim \mu_0$.
- (ii) Para cada paso, hacemos

$$\dot{x}_i = \frac{1}{\ell} \sum_{j=1}^{\ell} \left[k(x_j, x_i) \nabla \log \rho(x_j) + \nabla_{x_j} k(x_j, x_i) \right], \qquad i = 1, \ldots, \ell.$$

(iii) Actualizar $x_i \leftarrow x_i + \varepsilon \dot{x}_i$

- (i) Inicializar partículas $x_1, \ldots, x_\ell \sim \mu_0$.
- (ii) Para cada paso, hacemos

$$\dot{x}_i = \frac{1}{\ell} \sum_{j=1}^{\ell} \left[k(x_j, x_i) \nabla \log \rho(x_j) + \nabla_{x_j} k(x_j, x_i) \right], \qquad i = 1, \ldots, \ell.$$

- (iii) Actualizar $x_i \leftarrow x_i + \varepsilon \dot{x}_i$
- (iv) Detenemos cuando haya bajo desplazamiento entre pasos.

- (i) Inicializar partículas $x_1, \ldots, x_\ell \sim \mu_0$.
- (ii) Para cada paso, hacemos

$$\dot{x}_i = \frac{1}{\ell} \sum_{j=1}^{\ell} \left[k(x_j, x_i) \nabla \log \rho(x_j) + \nabla_{x_j} k(x_j, x_i) \right], \qquad i = 1, \ldots, \ell.$$

- (iii) Actualizar $x_i \leftarrow x_i + \varepsilon \dot{x}_i$
- (iv) Detenemos cuando haya bajo desplazamiento entre pasos.

Limitantes:

- Colapso por mala inicialización.

- (i) Inicializar partículas $x_1, \ldots, x_\ell \sim \mu_0$.
- (ii) Para cada paso, hacemos

$$\dot{x}_i = \frac{1}{\ell} \sum_{j=1}^{\ell} \left[k(x_j, x_i) \nabla \log \rho(x_j) + \nabla_{x_j} k(x_j, x_i) \right], \qquad i = 1, \ldots, \ell.$$

- (iii) Actualizar $x_i \leftarrow x_i + \varepsilon \dot{x}_i$
- (iv) Detenemos cuando haya bajo desplazamiento entre pasos.

- Colapso por mala inicialización.
- Modas aislados.

Heurística de la versión ramificada





Moraleja

Se intercalan una ramificación aleatoria controlada y un refinamiento determinista del sistema.

Reemplazamos las particulas $x \in \mathbb{R}^d$ por particulas coloreadas (x, c) con c un color en lo símbolos E, O, S.

E: Exploradores
 Generan descendencia aleatoria en posiciones aleatorias.

- E: Exploradores
 Generan descendencia aleatoria en posiciones aleatorias.
- O: Optimizadores
 No generan descendencia, sólo ajustan el modelo.

- E: Exploradores
 Generan descendencia aleatoria en posiciones aleatorias.
- O: Optimizadores
 No generan descendencia, sólo ajustan el modelo.
- S: Espina
 Garantiza la no extinción del linaje.

- E: Exploradores
 Generan descendencia aleatoria en posiciones aleatorias.
- O: Optimizadores
 No generan descendencia, sólo ajustan el modelo.
- S: Espina
 Garantiza la no extinción del linaje.

Reemplazamos las particulas $x \in \mathbb{R}^d$ por particulas coloreadas (x, c) con c un color en lo símbolos E, O, S.

- E: Exploradores
 Generan descendencia aleatoria en posiciones aleatorias.
- O: Optimizadores
 No generan descendencia, sólo ajustan el modelo.
- S: Espina
 Garantiza la no extinción del linaje.

El propósito es generar exploración aleatoria de la arquitectura.

Reglas de ramificación

Iteramos algoritmo SVGD con algoritmo de ramificación

 Reproducción: cada color tiene una ley de reproducción γ_i ~ q_E, q_O, q_S.

Reglas de ramificación

Iteramos algoritmo SVGD con algoritmo de ramificación

- Reproducción: cada color tiene una ley de reproducción $\gamma_i \sim q_E, q_O, q_S.$
 - Pedimos q_O degenerada.

Reglas de ramificación

Iteramos algoritmo SVGD con algoritmo de ramificación

- Reproducción: cada color tiene una ley de reproducción γ_i ~ q_E, q_O, q_S.
 - Pedimos *q*_O degenerada.
 - Pedimos q_S con masa ero en cero.

- Reproducción: cada color tiene una ley de reproducción
 - $\gamma_i \sim q_E, q_O, q_S$.
 - Pedimos *q*_O degenerada.
 - Pedimos q_S con masa ero en cero.
- Posición: Dependiendo de la descendencia, la ubicación de los hijos es como sigue:

- Reproducción: cada color tiene una ley de reproducción
 - $\gamma_i \sim q_E, q_O, q_S$.
 - Pedimos *q*_O degenerada.
 - Pedimos q_S con masa ero en cero.
- Posición: Dependiendo de la descendencia, la ubicación de los hijos es como sigue:
 - El único hijo de un optimizador es la misma del de su padre

- Reproducción: cada color tiene una ley de reproducción
 - $\gamma_i \sim q_E, q_O, q_S$.
 - Pedimos *q*_O degenerada.
 - Pedimos q_S con masa ero en cero.
- Posición: Dependiendo de la descendencia, la ubicación de los hijos es como sigue:
 - El único hijo de un optimizador es la misma del de su padre
 - Los hijos de x_i que es explorador o espina se posicionan de acuerdo a un kernel $Q(\cdot|x_i)$

- Reproducción: cada color tiene una ley de reproducción
 - $\gamma_i \sim q_E, q_O, q_S$.
 - Pedimos *q*_O degenerada.
 - Pedimos q_S con masa ero en cero.
- Posición: Dependiendo de la descendencia, la ubicación de los hijos es como sigue:
 - El único hijo de un optimizador es la misma del de su padre
 - Los hijos de x_i que es explorador o espina se posicionan de acuerdo a un kernel $Q(\cdot|x_i)$
- Recoloreo

- Reproducción: cada color tiene una ley de reproducción
 - $\gamma_i \sim q_E, q_O, q_S$.
 - Pedimos *q*_O degenerada.
 - Pedimos q_S con masa ero en cero.
- Posición: Dependiendo de la descendencia, la ubicación de los hijos es como sigue:
 - El único hijo de un optimizador es la misma del de su padre
 - Los hijos de x_i que es explorador o espina se posicionan de acuerdo a un kernel $Q(\cdot|x_i)$
- Recoloreo
 - Paso I: los hijos de O se colorean O, y los de E y S se colorean E.

- Reproducción: cada color tiene una ley de reproducción
 - $\gamma_i \sim q_E, q_O, q_S$.
 - Pedimos q_O degenerada.
 - Pedimos q_S con masa ero en cero.
- Posición: Dependiendo de la descendencia, la ubicación de los hijos es como sigue:
 - El único hijo de un optimizador es la misma del de su padre
 - Los hijos de x_i que es explorador o espina se posicionan de acuerdo a un kernel $Q(\cdot|x_i)$
- Recoloreo
 - Paso I: los hijos de O se colorean O, y los de E y S se colorean E.
 - Paso II: Muestramos una particular aleatoria y la coloreamos S.

- Mejora: correr SVGD hasta estabilización.

- Mejora: correr SVGD hasta estabilización.
- Ramificación: reproducimos las partículas de acuerdo a su color y posicionamos su descendencia de acuerdo a $P(\cdot|x)$.

- Mejora: correr SVGD hasta estabilización.
- Ramificación: reproducimos las partículas de acuerdo a su color y posicionamos su descendencia de acuerdo a $P(\cdot|x)$.
- Recoloreo: particulas optimizadoras o exploradoras dan hijos con el mismo color. El hijo de la espina se colorea E.

- Mejora: correr SVGD hasta estabilización.
- Ramificación: reproducimos las partículas de acuerdo a su color y posicionamos su descendencia de acuerdo a $P(\cdot|x)$.
- Recoloreo: particulas optimizadoras o exploradoras dan hijos con el mismo color. El hijo de la espina se colorea E.
- Seliección de la espina.

- Mejora: correr SVGD hasta estabilización.
- Ramificación: reproducimos las partículas de acuerdo a su color y posicionamos su descendencia de acuerdo a $P(\cdot|x)$.
- Recoloreo: particulas optimizadoras o exploradoras dan hijos con el mismo color. El hijo de la espina se colorea E.
- Seliección de la espina.
- Actualizar μ_{n+1} .

- Mejora: correr SVGD hasta estabilización.
- Ramificación: reproducimos las partículas de acuerdo a su color y posicionamos su descendencia de acuerdo a $P(\cdot|x)$.
- Recoloreo: particulas optimizadoras o exploradoras dan hijos con el mismo color. El hijo de la espina se colorea E.
- Seliección de la espina.
- Actualizar μ_{n+1} .
- Repetir dependiendo del presupuesto disponible.

Garantía: convergencia débil bajo condición verificable

Theorem

Sean $AC_r(\mathbb{R}^d)$ las medidas absolutamente continuas con densidad acotada por r. Si se cumple

$$d_W(\mu_n, AC_r(\mathbb{R}^d)) \to 0, \tag{1}$$

entonces μ_n converge en ley a π .

Garantía: convergencia débil bajo condición verificable

Theorem

Sean $AC_r(\mathbb{R}^d)$ las medidas absolutamente continuas con densidad acotada por r. Si se cumple

$$d_W(\mu_n, AC_r(\mathbb{R}^d)) \to 0, \tag{1}$$

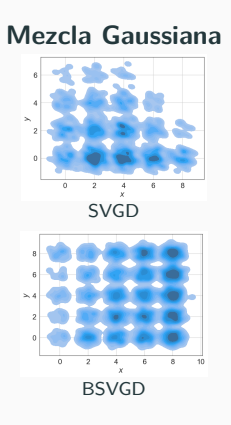
entonces μ_n converge en ley a π .

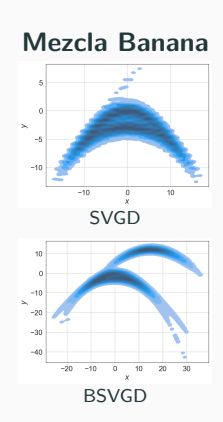
Observación

Heurísticamente, la condición (1) se lee del histograma.

Evidencia numérica

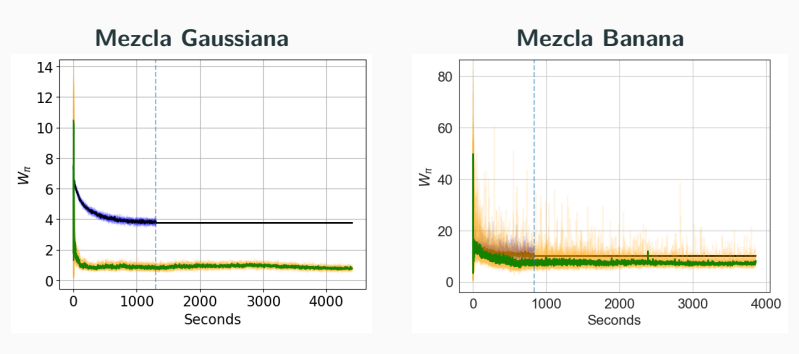
Comparación con SVGD en el mismo presupuesto de tiempo





Tiempo de máquina

Distancia de Wasserstein empírica en eje y vs tiempo en eje x



Oservemos que el BSVGD tardará mucho más en estabilizarse, pero en el mismo presupuesto de tiempo, alcanza mejores resultados

- Garantías de convergencia más robustas

- Garantías de convergencia más robustas
- Tasas de convergencia.

- Garantías de convergencia más robustas
- Tasas de convergencia.
- Todos los elementos deberían poder hacerse adaptativos: reproducciones Q, posiciones $P(\cdot|x)$ y coloreos.

- Garantías de convergencia más robustas
- Tasas de convergencia.
- Todos los elementos deberían poder hacerse adaptativos: reproducciones Q, posiciones $P(\cdot|x)$ y coloreos.
- Ajustes en geometrías distintas a Wasserstein (el caso Fisher-Rao se encuentra en proceso).

Gracias!

Arturo Jaramillo Gil Centro de Investigación en Matemáticas (CIMAT) jagil@cimat.mx

Bibliografía



Q. Liu y D. Wang.

Stein Variational Gradient Descent: A general purpose Bayesian inference algorithm.

Advances in Neural Information Processing Systems, 2016.



Q. Liu.

Stein Variational Gradient Descent as Gradient Flow. preprint, 2017.



I. Banales, A. Jaramillo y J. Ricalde-Guerrero.

Branching Stein Variational Gradient Descent for Sampling Multimodal Distributions.

Preprint, 2025.